

3-271

ОБЪЕДИНЕННЫЙ
ИНСТИТУТ
ЯДЕРНЫХ
ИССЛЕДОВАНИЙ
ДУБНА



24.33 / 2-78

P13 - 11310

Ю.В.Заневский, А.Б.Иванов, В.Д.Пешехонов,
И.А.Тяпкин

ПОЗИЦИОННО-ЧУВСТВИТЕЛЬНЫЙ ДЕТЕКТОР
 β -ИЗЛУЧЕНИЯ ^3H , ^{14}C , ^{32}P

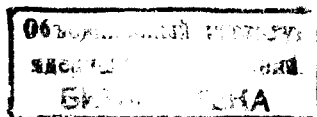
1978

P13 - 11310

Ю.В.Заневский, А.Б.Иванов, В.Д.Пешехонов,
И.А.Тяпкин

ПОЗИЦИОННО-ЧУВСТВИТЕЛЬНЫЙ ДЕТЕКТОР
 β -ИЗЛУЧЕНИЯ ^3H , ^{14}C , ^{32}P

Направлено в "Nuclear Instruments and Methods"



Заневский Ю.В. и др.

P13 - 11310

Позиционно-чувствительный детектор β -излучения
 ^3H , ^{14}C , ^{32}P

Для проведения автоматизированного анализа тонкослойных радиохроматограмм разработан и изготовлен высокочувствительный детектор, который позволяет существенно уменьшить время анализа и проводить, при необходимости, идентификацию изотопов. Детектор регистрирует β -излучение в широком диапазоне энергий и обладает малым уровнем собственных шумов (около $0,1 \text{ Гц}/\text{см}^2$).

Работа выполнена в Лаборатории высоких энергий ОИЯИ.

Препринт Объединенного института ядерных исследований. Дубна 1978

Zanovsky Yu.V. et al.

P13 - 11310

Position-Sensitive Detector of ^3H , ^{14}C , ^{32}P Electrons

A high-sensitivity detector has been developed and constructed to perform an automatic analysis of thin-layer radiochromatograms. The detector permits the analysis time to be significantly decreased and radionuclides to be identified. It detects β -radiation in a broad energy range and has a small noise level of about $0.1 \text{ Hz}/\text{cm}^2$.

The investigation has been performed at the Laboratory of High Energies, JINR.

Preprint of the Joint Institute for Nuclear Research. Dubna 1978

© 1978 Объединенный институт ядерных исследований Дубна

ВВЕДЕНИЕ

Одним из основных этапов анализа тонкослойных радиохроматограмм является определение пространственной локализации радиоактивных зон на подложке и измерение их активностей¹. Наиболее широко в радиохроматографии применяются β -активные изотопы углерода и фосфора. Максимальная величина энергии электронов, эмитируемых ^{14}C , составляет 155 кэВ. Изотоп фосфора ^{32}P эмиттирует электроны с максимальной энергией 1,7 МэВ. В последние годы широкое применение, особенно при проведении молекулярно-биологических исследований, получил тритий. Максимальная энергия электронов, испускаемых ^3H достигает величины 18,9 кэВ. Однако сложность получения биологического материала, меченого тритием с высоким уровнем активности, а также невысокий выход электронов из образца в связи с поглощением их в несущем слое радиохроматограммы, несколько ограничивают область применения трития. Так, например, время анализа тритиевой радиохроматограммы методом авторадиографии на фотопленке исчисляется месяцами.

Применение пропорциональной камеры /ПК/ для анализа радиохроматограмм уменьшает время анализа и позволяет сохранять меченое биологическое вещество для последующих исследований². Для проведения автоматизированного анализа тонкослойных радиохроматограмм разработана и изготовлена установка "Уран"³, высокочувствительный детектор которой позволяет существенно уменьшить время анализа и проводить, при

необходимости, идентификацию изотопов, используемых при изготовлении радиохроматограммы.

ПРИНЦИП ДЕЙСТВИЯ ДЕТЕКТОРА

Для обеспечения возможности анализа радиохроматограмм с веществом, меченным как ^{3}H , так и ^{14}C или ^{32}P , детектор должен обеспечивать высокую эффективность регистрации β -излучения в широком энергетическом диапазоне.

На рис. 1 показано схематическое изображение детектора, который состоит из трех пропорциональных камер с дрейфовыми промежутками, помещенными в единый газовый объем. Анализируемая радиохроматограмма вводится в газовый объем детектора и благодаря газовым дрейфовым промежуткам /D₀, D₁/ находится в непосредственном контакте с чувствительным объемом первой пропорциональной камеры.

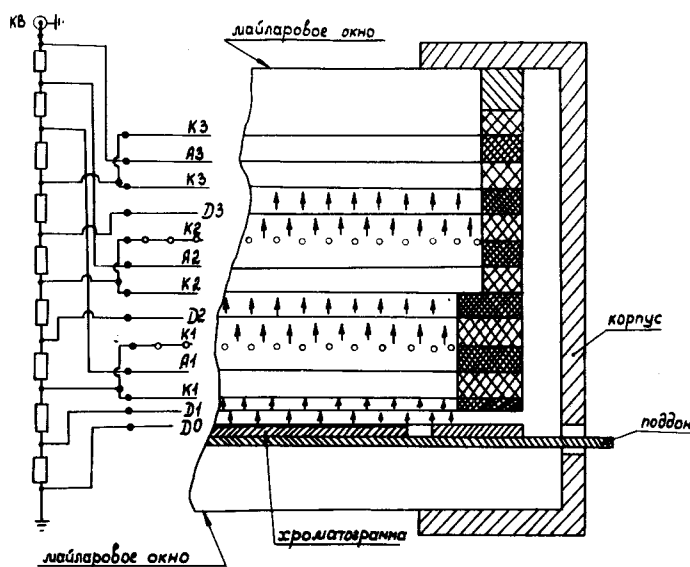


Рис. 1. Схематическое изображение детектора.

Наиболее удаленная от образца пропорциональная камера /ПК-3/ регистрирует электроны, начальная энергия которых более 200 кэВ. Электроны, обладающие меньшей величиной энергии, останавливаются в предыдущем газовом слое или в алюминиевом фильтре D₃. Вторая пропорциональная камера /ПК-2/ регистрирует электроны, начальная энергия которых более 100 кэВ. Пропорциональная камера ПК-1 регистрирует эмитируемые изотопами электроны во всем энергетическом диапазоне.

Совпадение анодных сигналов пропорциональных камер /A₁, A₂, A₃/ указывает на то, что или детектируется электрон, испускаемый изотопом фосфора, или регистрируется космическая фоновая частица. Совпадение вида /A₁, A₂, Ā₃/ свидетельствует о том, что электрон испускается изотопом углерода или фосфора. Статистическое отсутствие для некоторой координатной области информации типа /A₁, A₂, A₃/ и /A₁, A₂, Ā₃/ при наличии информации /A₁, A₂, Ā₃/ говорит о регистрации тритиевого излучения.

Координатная информация (X, Y) снимается с катодов ПК-1 при помощи электромагнитных линий задержки ^{4, 5}. Анодные сигналы камер используются для отбора событий по приведенной выше логике. Анодный сигнал ПК-1 служит также для определения момента прохождения частицы. Камеры ПК-2 и ПК-3 работают в счетном режиме.

Таким образом, детектор позволяет определять пространственную локализацию радиоактивных зон хроматограммы по координатной информации с ПК-1. Анализ совпадений анодных сигналов трех камер для интересующего нас участка площади ПК-1 говорит о виде изотопа в соответствующей зоне радиохроматограммы. Активность этого участка можно определить с помощью калибровки по тестовым образцам.

КОНСТРУКЦИЯ ДЕТЕКТОРА

Детектор состоит из набора проволочных плоскостей, выполненных на стеклотекстолитовых рамках. Анодные

плоскости камер /А/ намотаны золоченой вольфрамовой проволокой диаметром 0,02 мм с шагом 2 мм. Катодные плоскости /К/ намотаны проволокой из бериллиевой бронзы диаметром 0,1 мм с шагом 1 мм. Межэлектродное расстояние камер составляет 4 мм. Высоковольтное напряжение через делитель подается на каждую плоскость детектора.

Проволочный электрод Д2, установленный между катодами ПК-1 и ПК-2, служит для создания электрического дрейфового поля в близлежащих к катодам камерах газовых объемах, а также для экранирования ПК-1 от ПК-2. Электрод Д3 из алюминиевой фольги толщиной 0,17 мм, установленный между ПК-2 и ПК-3, выполняет аналогичные функции и, кроме того, служит фильтром, поглощающим низкоэнергетические электроны. Направление движения электронов в дрейфовых промежутках детектора показано на рис. 1. Рабочая площадь ПК-1 - 240x240 мм², ПК-2 и ПК-3 - 300x300 мм².

Набор стеклотекстолитовых рамок детектора помещается в газовый объем алюминиевого бокса, имеющего майларовые окна, что позволяет проверять работу детектора с помощью внешнего β -активного источника. Общий вид детектора, подготовленного к установке в газовый бокс, показан на рис. 2.

Тонкослойная радиохроматограмма устанавливается на поддон и закрывается проволочным электродом D_0 /рис. 1/, находящимся под нулевым потенциалом. Проволоки электрода, намотанные с шагом 2 мм, непосредственно соприкасаются с несущим веществом радиохроматограммы. Поддон по точным направляющим вводится через паз в боковой стенке бокса в газовый объем детектора. Между проволочным электродом поддона и катодом первой камеры на расстоянии 2 мм установлен подобный электроду D_0 проволочный электрод D_1 , служащий для создания электрического дрейфового поля в газовом объеме между поверхностью радиохроматограммы и катодом ПК-1.

На рис. 3 показан общий вид собранного детектора. На внешней стороне газового бокса размещен высоковольтный делитель и установлены анодные и катодные

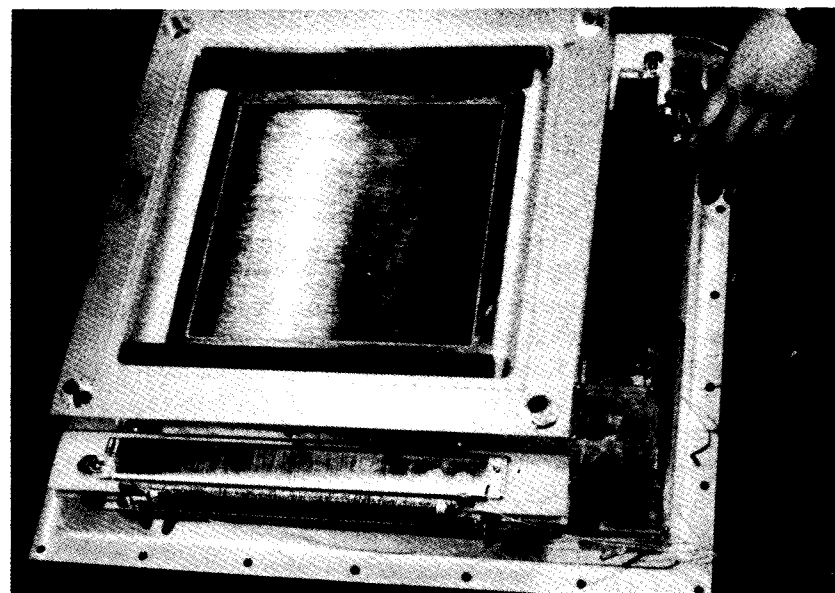


Рис. 2. Общий вид детектора перед установкой в газовый бокс.

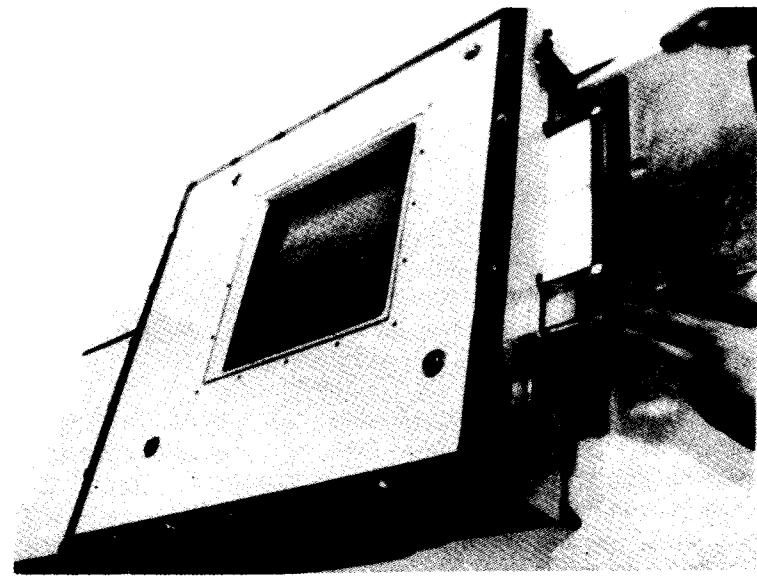


Рис. 3. Общий вид собранного детектора. Показан ввод радиохроматограммы в газовый объем детектора.

усилители камер. Детектор позволяет анализировать радиохроматограммы площадью до $200 \times 200 \text{ mm}^2$.

СЪЕМ ИНФОРМАЦИИ

Сигналы с анодных плоскостей пропорциональных камер, а также с одного конца X-координатной и Y-координатной линий задержки ПК-1, через импульсные трансформаторы передаются скрученными парами на входы усилителей. Используются дифференциальные усилители с максимальным коэффициентом усиления по напряжению $K_y \approx 300$ и с уровнем шумов, приведенным к входу, $U_{\text{ш}} \approx 15 \text{ мкВ}$. Усилители работают на нагрузку сопротивлением $R_H = 50 \text{ Ом}$, линейны для $U_{\text{вых}} > 0$ в диапазоне $U_{\text{вых}} \leq 2,5 \text{ В}$ и ограничены для $U_{\text{вых}} < 0$ уровнем $U_{\text{вых}} = -0,5 \text{ В}$. Усиленные сигналы поступают на дискриминаторы нуля с регулируемым порогом в пределах $30 \text{ мВ} < U_{\text{ng}} < 110 \text{ мВ}$, выходной импульс привязан к вершине входного сигнала. Сигналы с дискриминаторов поступают далее в блоки электронной регистрирующей аппаратуры. Задержка электромагнитных линий, используемых для съема информации с ортогонально намотанных катодов ПК-1, составляет 4 нс/мм.

ХАРАКТЕРИСТИКИ ДЕТЕКТОРА

Рабочие характеристики детектора проверялись для газовых смесей аргон-метан, аргон-изобутан, аргон-углекислый газ. В результате была выбрана для газового наполнения детектора смесь на основе аргона с 15% CO_2 .

Эффективность всех пропорциональных камер при регистрации анодных сигналов, а также катодных сигналов ПК-1 представлена на рис. 4. Семейство зависимостей для различных участков площади камер ограничивается показанными двумя зависимостями эффективности от величины высоковольтного напряжения U_g , подаваемого на делитель. Зависимости получены с по-

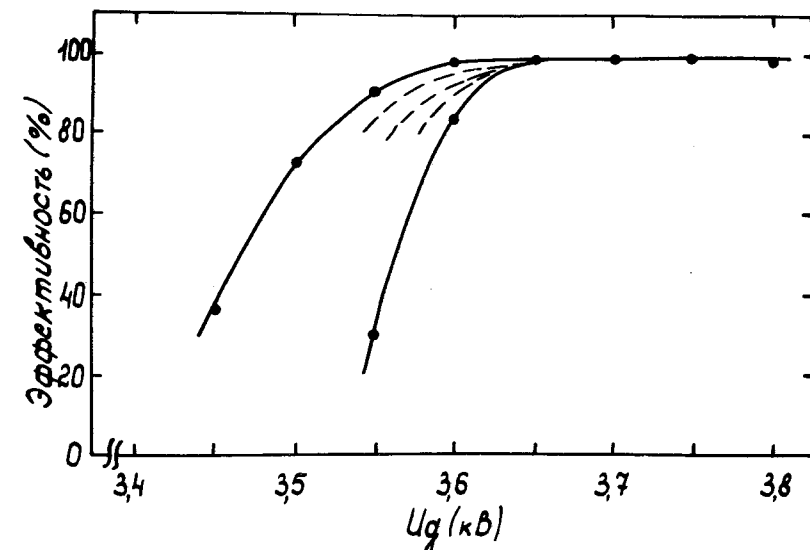


Рис. 4. График зависимостей эффективности пропорциональных камер детектора от величины напряжения.

мощью внешнего β -источника ^{144}Ce . Разность потенциалов между анодной и катодными плоскостями всех камер одинаковы в пределах $\pm 20 \text{ В}$. Напряженность электрического поля дрейфовых промежутков - около 1000 В/см .

На рис. 5 /кривая 1/ показана счетная характеристика ПК-1 в относительных единицах при регистрации β -излучения трития. Количество шумовых сигналов этой камеры в зависимости от величины напряжения представлено кривой 2. Видно, что количество собственных шумов ПК-1, определяющее чувствительность детекто-

ра при регистрации излучения от трития, около $10^{-1} \frac{1}{\text{с. см}^2}$.

Уровень собственных шумов детектора при совпадениях /A1, A2, A3/ и /A1, A2, A3/ представлен кривыми 3 и 4 соответственно.

Счетные характеристики детектора, полученные с помощью радиоактивного изотопа углерода, нанесенного

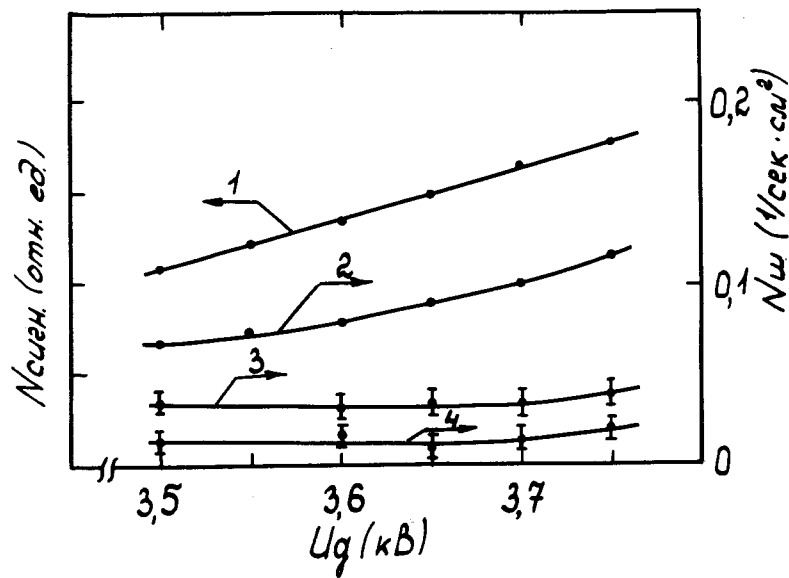


Рис. 5. Счетная характеристика ПК-1 /пояснения см. в тексте/.

в виде пятна диаметром около 1 см на образец с гипсовым покрытием толщиной около 0,1 мм, показаны на рис. 6. Кривая 1 соответствует событиям, отвечающим логике /A1, A2, A3/, кривая 2 - логике /A1, A2, A3/, суммарное количество зарегистрированных событий представлено кривой 3. Видно, что суммарная счетная характеристика имеет плато величиной около 150 В. Активность препарата обеспечивала 1000 расп./с в 2π -геометрии. Эффективность детектора на плато счетной характеристики /кривая 3/ - ~50%.

Счетные характеристики детектора, полученные с помощью изотопа фосфора, приведены на рис. 7. Кривая 1 - для событий, отобранных по логике /A1, A2, A3/; кривая 2 - по логике /A1, A2, A3/; кривая 3 - по логике /A1, A2, A3/. Суммарное количество зарегистрированных сигналов представлено кривой 4. Плато счетной характеристики - около 150 В, суммарная эффективность детектора /кривая 4/- ~60%.

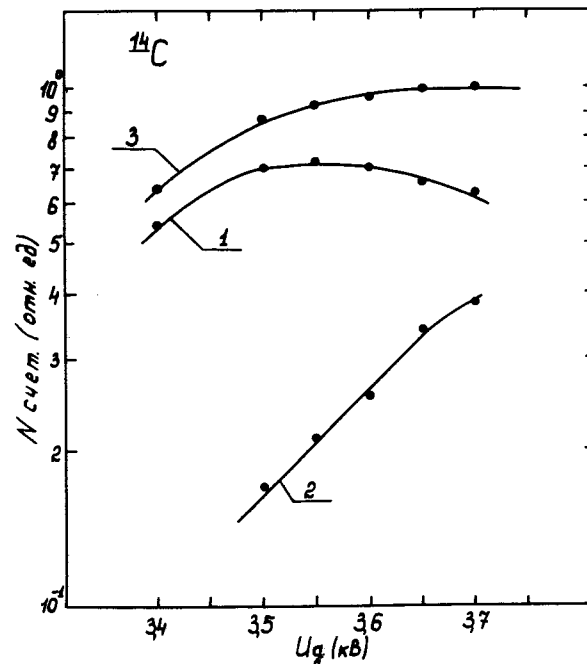


Рис. 6. Счетные характеристики детектора при регистрации излучения от изотопа углерода /в относительных единицах/ /Пояснения см. в тексте/.

Вероятность регистрации ПК-2 низкоэнергетичных электроионов, обладающих малой остаточной энергией после прохождения через газовый объем ПК-1, с увеличением напряжения возрастает. Это приводит к некоторому уменьшению количества сигналов, регистрируемых только ПК-1, с увеличением напряжения /кривые 1 рис. 6, 7/.

ВВОД ОБРАЗЦА В ГАЗОВЫЙ ОБЪЕМ ДЕТЕКТОРА

При вводе и выводе образца в газовый объем детектора происходит разгерметизация детектора, сопровождающаяся изменением состава газового наполнения. Большую проблему представляет запыление детектора,

что сопровождается резким возрастанием общего количества шумовых сигналов и появлением локальных шумовых зон, которые могут быть приняты за радиоактивные зоны хроматограммы /меченные тритием/.

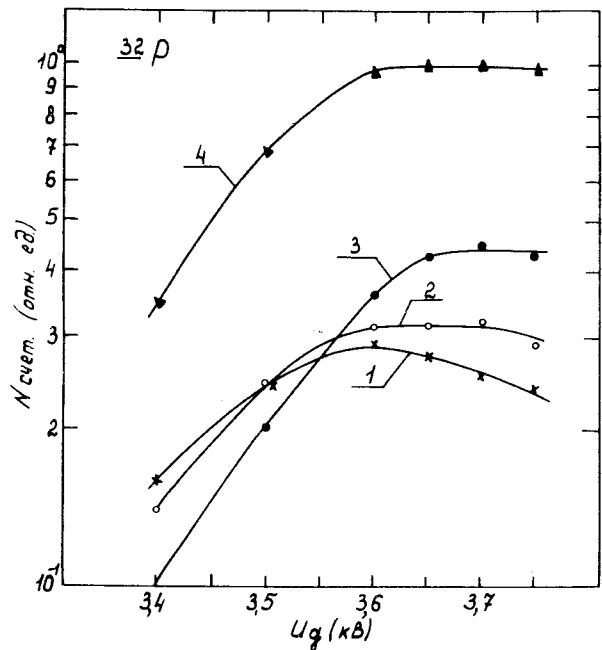


Рис. 7. Счетные характеристики в случае регистрации излучения от изотопа фосфора. Кривая 1 - события, регистрируемые только ПК-1; кривая 2 - события, регистрируемые одновременно ПК-1 и ПК-2; кривая 3 - события, регистрируемые одновременно тремя камерами; кривая 4 - общее количество регистрируемых событий.

Для устранения подобных нежелательных эффектов служат проволочные электроды D_0 и D_1 . Микрочастицы, внесенные в газовый объем детектора вместе с образцом и сорванные с поверхности образца газовым потоком, приобретают в электрическом поле электростатический заряд. Наличие двух дрейфовых промежутков между поверхностью образца и катодом ПК-1 су-

щественно уменьшает вероятность проникания микрочастиц в чувствительный объем пропорциональной камеры. Для устранения локальных шумовых зон, которые тем не менее могут образоваться, после ввода образца производится так называемый режим "тренировки" детектора. На делитель подается напряжение $3,8 \div 3,9$ кэВ, обеспечивающее работу пропорциональных камер в конце плато эффективности /рис. 4/. Через некоторое время работы детектора в таком режиме ($t_{тр}$) уровень шумовых сигналов возвращается к исходному, локальные шумовые зоны исчезают. На рис. 8а

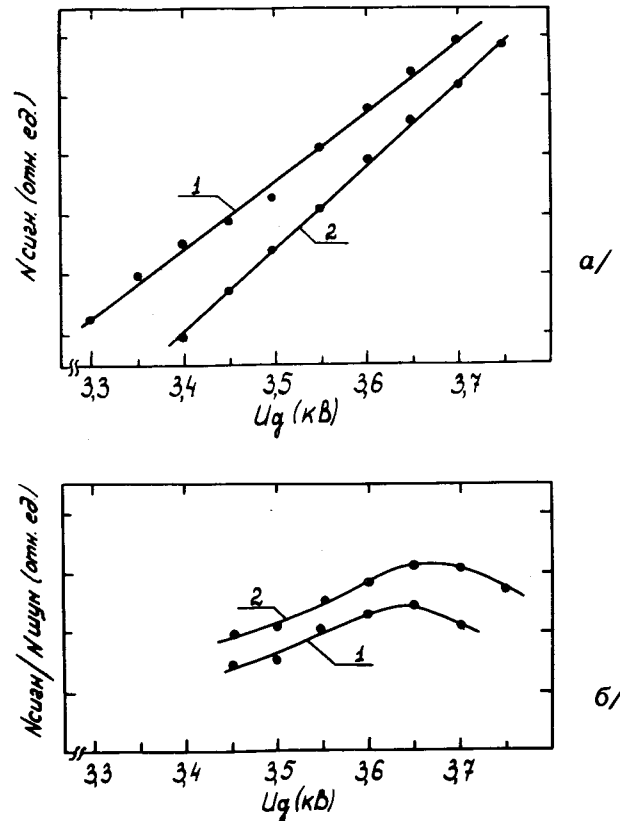


Рис. 8. Счетные характеристики ПК-1 в случае регистрации излучения трития для разных газовых смесей /а/. Величина отношения количества рабочих сигналов к числу шумовых для ПК-1 при разных газовых смесях /б/.

приведены счетные характеристики в относительных единицах ПК-1 при работе с тритием. Основные компоненты газовой смеси: аргон и 15% изобутана /кривая 1/ и аргон с 15% углекислого газа /кривая 2/. На рис. 8б представлены отношения количества рабочих сигналов ($N_{\text{сигн}}$) к количеству шумовых сигналов ($N_{\text{шум}}$) в зависимости от величины напряжения. Видно, что лучшее отношение наблюдается для газовой смеси с добавкой CO_2 . Отношения получены после проведения режимов тренировки.

Проведение тренировки детектора при равномерном облучении радиоактивным β -источником интенсивностью

$\sim 10^5 \frac{\text{рад}}{\text{с}}$ несколько сокращает необходимую величину

$t_{\text{тр}}$. Общее количество шумовых сигналов на площади $200 \times 200 \text{ mm}^2$ в зависимости от величины $t_{\text{тр}}$ приведено

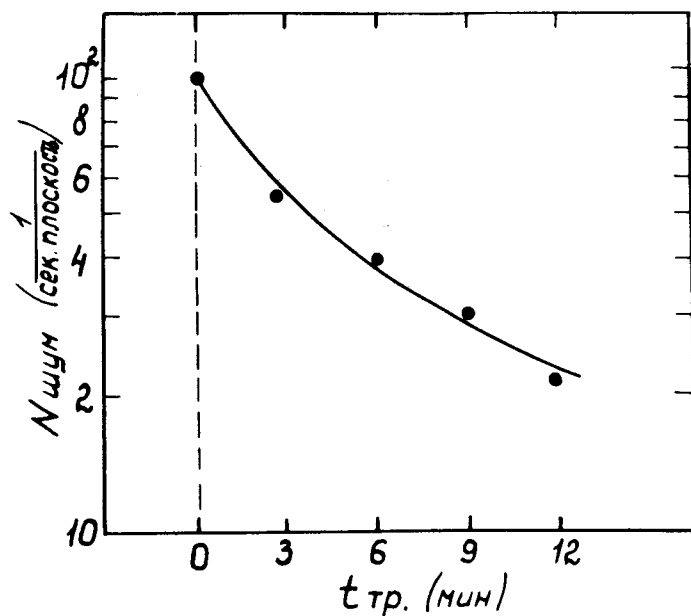


Рис. 9. Количество шумовых сигналов со всей площади ПК-1 в зависимости от времени тренировки камеры при напряжении 3,85 кВ.

на рис. 9. Видно, что время, необходимое на тренировку детектора после ввода образца, составляет 5-10 мин.

ЗАКЛЮЧЕНИЕ

Созданный на основе пропорциональных камер детектор β -излучения позволяет проводить автоматизированный качественный и количественный анализ тонкослойных радиохроматограмм, меченых тритием, изотопами углерода и фосфора.

Чувствительность детектора составляет $10^{-1} \frac{1}{\text{с.см}^2}$.

Выбранная газовая смесь позволяет обеспечивать малошумящий режим работы детектора после ввода радиохроматограмм за время около 10 мин.

В заключение авторы выражают благодарность Ю.А.Федулову, Н.П.Волкову, А.Е.Московскому, В.А.Белякову, М.Н.Михайловой, Р.М.Базловой, Н.Н.Тиханчеву за помощь в изготовлении детектора.

ЛИТЕРАТУРА

1. Шеллард Э. Количественная хроматография на бумаге и в тонком слое. "Мир", М., 1971.
2. Заневский Ю.В. и др. ОИЯИ, Р14-10934, Дубна, 1977.
3. Анисимов Ю.С. и др. ОИЯИ, Р14-11309, Дубна, 1978.
4. Rindi A. et.al. Nucl. Instr. and Meth., 1970, 77, p.325.
5. Заневский Ю.В. и др. ОИЯИ, Р14-10410, Дубна, 1977.

Рукопись поступила в издательский отдел
8 февраля 1978 года.